

УДК 620.178.6

ЧИСЛЕННЫЙ МЕТОД ОПРЕДЕЛЕНИЯ КОЭФФИЦИЕНТА ИНТЕНСИВНОСТИ НАПРЯЖЕНИЙ ДЛЯ ТЕЛ ИЗ ОДНОРОДНОГО И НЕОДНОРОДНОГО МАТЕРИАЛОВ С ТРЕЩИНОЙ

В. М. Тихомиров

Сибирский государственный университет путей сообщения, 630049 Новосибирск, Россия
E-mail: twm@stu.ru

На основе результатов анализа асимптотических решений задач о деформировании однородного тела с разрезом и пластины с трещиной, расположенной на границе раздела двух сред, разработаны алгоритмы определения коэффициента интенсивности напряжений. Предложенные алгоритмы применены для расчета коэффициентов интенсивности напряжений с использованием результатов численного решения задач о нагружении различных плоских и пространственных однородных тел с трещинами, а также пластины с трещиной, расположенной на границе раздела двух упругих сред. Показано, что результаты расчета хорошо согласуются с данными, полученными другими методами.

Ключевые слова: коэффициент интенсивности напряжений, трещина на границе раздела двух сред, асимптотическое решение, метод конечных элементов.

DOI: 10.15372/PMTF20200114

Введение. Анализ напряженно-деформированного состояния тела с разрезом является одной из основных задач линейной механики разрушения. Из решения задач для изотропных сред [1] следует, что вблизи вершины трещины поле напряжений имеет корневую особенность $O(r^{-1/2})$, где r — полярный радиус точки, лежащей на нормали к фронту трещины. Универсальной характеристикой такого сингулярного распределения напряжений является коэффициент интенсивности напряжений (КИН) [2]. В общем случае выделяются три независимых КИН, которые соответствуют трем типам перемещений берегов трещины: нормальный отрыв (K_I), поперечный сдвиг (K_{II}) и продольный сдвиг (K_{III}).

Способы определения КИН можно разделить на три основные группы: аналитические, экспериментальные и вычислительные. Аналитические решения получены для ограниченного класса осесимметричных и плоских задач. В экспериментах и при численном решении определяются различные величины: перемещения, напряжения, энергия. Например, в работах [3–5] с использованием экспериментальных интерференционно-оптических методов определяются напряжения или перемещения в окрестности трещины, которые затем аппроксимируются аналитическими решениями для пространственных или плоских тел с разрезами [6, 7].

В настоящее время наиболее развитыми являются вычислительные алгоритмы, основанные на использовании методов конечных элементов, граничных элементов или гранич-

ных интегральных уравнений. Например, при анализе напряженно-деформированного состояния тела с трещиной методом конечных элементов вследствие сингулярного характера распределения напряжений более точно определяются значения перемещений и контурный J -интеграл [8]. Поэтому в вычислительных комплексах (ANSYS, COSMOS/M, NASTRAN и др.) используются процедуры определения КИН по этим величинам [9]. В специальных программных блоках использован алгоритм аппроксимации перемещений поверхности разреза, моделирующего трещину, асимптотическим решением [2], полученным только для плоского напряженного состояния или состояния плоской деформации. В работе [10] поле перемещений в окрестности трещины предложено описывать решением задачи для осесимметричного тела с математическим разрезом.

В свою очередь, распределение напряжений не зависит от степени стеснения деформации вдоль ее фронта. Следовательно, характеристики поля напряжений в окрестности трещины можно использовать при определении КИН как для тела с трещиной, изготовленного из однородного материала, так и для тела с трещиной на границе двух упругих сред.

В данной работе исследуется возможность применения асимптотического представления напряженного состояния в окрестности трещины для независимого определения коэффициента интенсивности напряжений трех типов.

1. Трещина в однородном теле. Рассмотрим решение задачи о деформировании однородного изотропного тела с трещиной [11]. В плоскости, перпендикулярной трещине (рис. 1), на линии $\theta = 0$ зависимость компонент напряжений от полярного радиуса точки r имеет следующий вид:

— для трещины нормального отрыва

$$\sigma_{yy} = K_I(2\pi r)^{-1/2} + \sum_{n=1}^{\infty} a_{yyn}r^{(2n-1)/2}, \quad \sigma_{xx} = K_I(2\pi r)^{-1/2} + \sigma_{xx}^0 + \sum_{n=1}^{\infty} a_{xxn}r^{n/2}, \quad (1)$$

$$\sigma_{xy} = \sigma_{yz} = 0;$$

— для трещины поперечного сдвига

$$\sigma_{yy} = \sigma_{xx} = 0, \quad \sigma_{xy} = K_{II}(2\pi r)^{-1/2} + \sigma_{xy}^0 + \sum_{n=1}^{\infty} a_{xyn}r^{(2n-1)/2}; \quad (2)$$

— для трещины продольного сдвига

$$\sigma_{yy} = \sigma_{xx} = \sigma_{xy} = 0, \quad \sigma_{yz} = K_{III}(2\pi r)^{-1/2} + \sigma_{yz}^0 + \sum_{n=1}^{\infty} a_{yzn}r^{(2n-1)/2}. \quad (3)$$

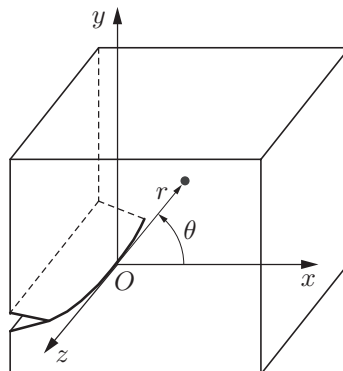


Рис. 1. Схема расположения трещины и система координат

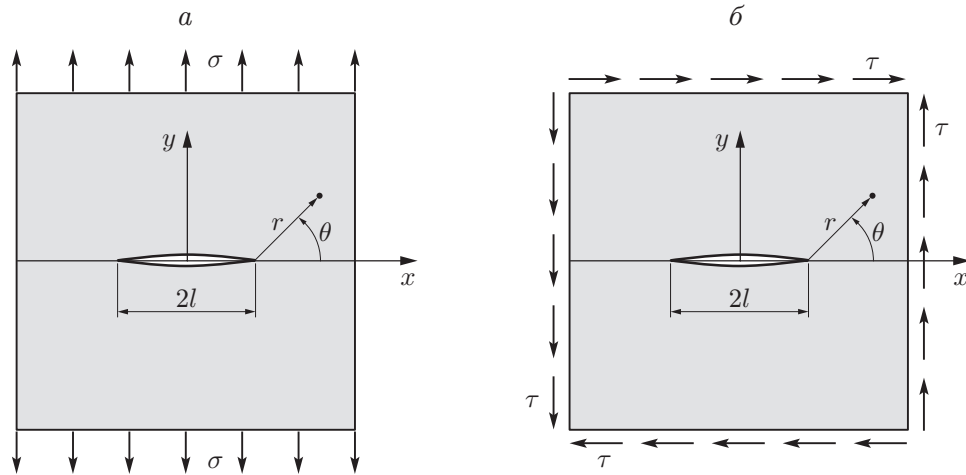


Рис. 2. Расчетные схемы плоских задач:

a — растяжение, *б* — чистый сдвиг

В выражения для напряжений σ_{yy} , σ_{xy} , σ_{yz} входит только один из трех КИН: K_I , K_{II} , K_{III} соответственно. Это позволяет независимо определить данные величины при произвольном нагружении тела с трещиной.

Если в формулах (1)–(3) ограничиться первыми членами ряда, то выражения для компонент напряжений, умноженных на величину $r^{1/2}$, можно представить в следующем виде:

$$p_i r^{1/2} = K_i (2\pi)^{-1/2} + a_{pi} r, \quad i = I, II, III.$$

Здесь $p_I = \sigma_{yy}$; $p_{II} = \sigma_{xy}$; $p_{III} = \sigma_{yz}$.

Принимая линейную аппроксимацию поля напряжений в окрестности трещины

$$p_i r^{1/2} = A_i + B_i r, \quad (4)$$

можно определить КИН

$$K_i = A_i (2\pi)^{1/2}, \quad i = I, II, III. \quad (5)$$

Аналогичный подход используется при расчете КИН по значениям перемещений поверхности трещины [9].

Оценим размеры области в окрестности вершины трещины, где различие приближенного решения, полученного на основе линейной аппроксимации, и точного решения невелико. Рассмотрим задачи о растяжении и чистом сдвиге бесконечной пластины с центральным разрезом длиной $2l$ (рис. 2).

На линии продолжения разреза ($y = 0$) как при растяжении, так и при сдвиге получаем одно и то же распределение напряжений [6]

$$p(r) = p \frac{r + l}{(r^2 + 2rl)^{1/2}}. \quad (6)$$

Здесь $p(r)$ — нормальные напряжения σ_{yy} при растяжении пластины и касательные напряжения σ_{xy} при ее сдвиге; $p = \sigma$ — нормальные напряжения в задаче о растяжении, $p = \tau$ — касательные напряжения в задаче о сдвиге; σ , τ — напряжения, действующие на достаточно большом расстоянии от разреза.

Представим функцию $p(r)$ в безразмерном виде

$$s = \frac{p(r)}{p} \left(\frac{2r}{l} \right)^{1/2} = \left(1 + \frac{r}{l} \right) \left(1 + \frac{r}{2l} \right)^{-1/2}$$

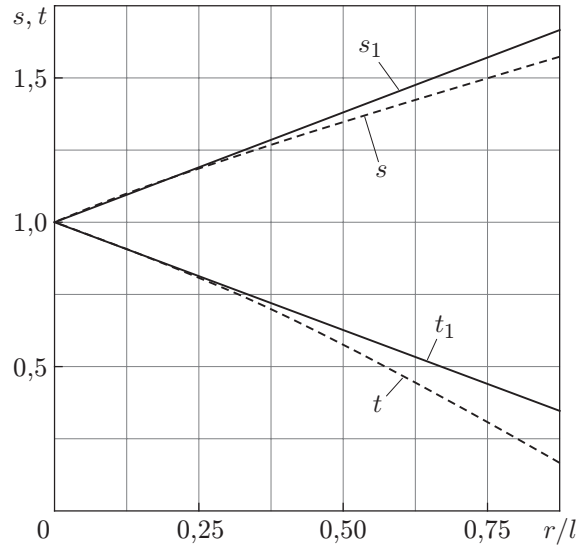


Рис. 3. Приближенное (s_1, t_1) и точное (s, t) распределения напряжений для плоской (s, s_1) и пространственной (t, t_1) задач

и разложим ее в ряд:

$$s = 1 + \sum_{n=2}^{\infty} \frac{2n-1}{2^{3n-4}} \left(\frac{r}{l}\right)^{n-1}.$$

Если ограничиться первым членом, то получаем линейное приближение теоретического распределения напряжений

$$s_1 = 1 + 3r/(4l).$$

На рис. 3 представлены графики функций s и s_1 .

Решением задачи о кручении цилиндра с кольцевым вырезом является распределение касательных напряжений σ_{yz} по диаметру неповрежденной части цилиндра [6]

$$\sigma_{yz} = \frac{3}{8} \tau_0 \frac{l-r}{(2lr-r^2)^{1/2}} \quad (0 \leq r \leq l).$$

Для безразмерного напряжения получаем формулу

$$t = \frac{8\sigma_{yz}}{3\tau_0} \left(\frac{2r}{l}\right)^{1/2} = \left(1 - \frac{r}{l}\right) \left(1 - \frac{r}{2l}\right)^{-1/2}.$$

Здесь $\tau_0 = 2M/(\pi l^3)$ — номинальное касательное напряжение, соответствующее крутящему моменту M ; l — радиус неповрежденной части цилиндра.

С помощью преобразований, выполненных при анализе плоских задач, получаем приближенное линейное представление функции t

$$t_1 = 1 - 3r/(4l).$$

На рис. 3 представлены распределения напряжений t и t_1 в круговом цилиндре с кольцевым вырезом, соответствующие аналитическому решению и решению на основе линейной аппроксимации.

Следует отметить, что при $r < 0,5l$ различие приближенного решения на основе линейной аппроксимации и точного решения не превышает 2,5%. Таким образом, при однородном нагружении тела с разрезом коэффициент A в формуле (4) с достаточной точностью

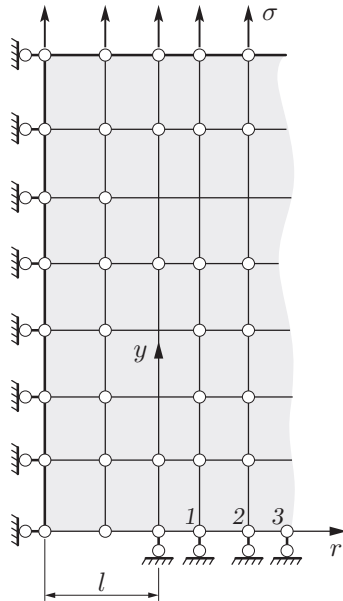


Рис. 4

Рис. 4. Расчетная схема:
1–3 — номера узлов

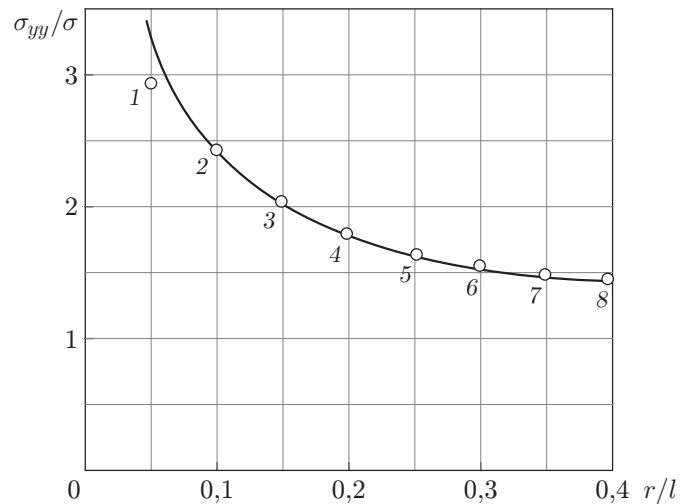


Рис. 5

Рис. 5. Распределение напряжения на линии разреза:
сплошная линия — расчет по формуле (6), точки — расчет с использованием метода конечных элементов (1–8 — номера узлов)

можно определить по значениям напряжений, действующих в точках, расположенных на линии продолжения трещины на расстоянии от ее вершины, не превышающем $0,5l$.

Используем алгоритм определения КИН по значениям напряжений, полученным с помощью метода конечных элементов, при решении задачи о растяжении пластины с центральным разрезом длиной $2l$, расположенным перпендикулярно действующим напряжениям σ (см. рис. 2).

На рис. 4 представлена конечно-элементная схема. Размер конечного элемента в окрестности вершины разреза равен $0,05l$, ширина и высота пластины — $20l$. На рис. 5 показаны распределения напряжений σ_{yy}/σ .

Большая погрешность расчета напряжений наблюдается только в первом узле конечно-элементной сетки при $r = 0,05l$. Аналогичные результаты получены при других размерах конечного элемента. Поэтому для определения постоянной A в линейном приближении (4) целесообразно использовать значения напряжений во втором и третьем узлах сетки на линии продолжения трещины (см. рис. 4). В результате расчета (см. рис. 4) получен коэффициент $A = 0,71\sigma\sqrt{l}$. Следовательно, согласно формуле (5) КИН равен $K_I = 1,779\sigma\sqrt{l}$. Это значение отличается от теоретического значения $K_I = \sigma\sqrt{\pi l} = 1,772\sigma\sqrt{l}$ на 0,4 %.

В таблице приведены результаты расчета, полученные с использованием предложенного алгоритма и алгоритма определения КИН по значениям перемещения поверхности разреза [9] при численном решении различных задач (K/K_t — отношение расчетного значения КИН к теоретическому, которое определялось по данным [12]). Для пространственных тел с криволинейной трещиной положение расчетной точки определялось угловой координатой φ (рис. 6).

Значения КИН, полученные с помощью численных алгоритмов и справочных данных

Задача	Вид нагружения (тип трещины)	K/K_t		
		Расчет по напряжениям (формула (4))	Расчет по перемещениям [9]	
Растяжение пластины с центральным разрезом	Растяжение (K_I)	0,993	0,959	
Двухосное растяжение пластины с дугообразным разрезом	K_I	0,889	0,964	
	K_{II}	0,866	0,843	
Деформирование цилиндра с дисковым разрезом, перпендикулярным его оси	Растяжение (K_I)	0,973	0,989	
	Сдвиг по оси x (K_{II}) при $\varphi = 0$	0,914	0,948	
	Растяжение сосредоточенными силами, приложенными к бере- гам разреза на расстоянии $0,5l$ (K_I):	$\varphi = 0$	0,982	0,955
		$\varphi = \pi/2$	0,975	0,939
$\varphi = \pi$		1,005	0,976	
Изгиб плиты с полукруглой трещиной, выходящей на поверхность	Изгиб (K_I):	$\varphi = 0$	1,020	
		$\varphi = \pi/2$	0,877	
Кручение цилиндра с внешним радиальным разрезом	Кручение (K_{III})	0,975	1,003	

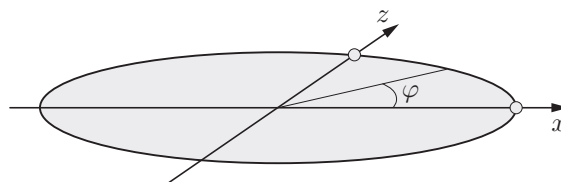


Рис. 6. К определению положения точек на берегу криволинейной трещины

Результаты, представленные в таблице, показывают, что погрешность определения КИН по известным напряжениям сопоставима с погрешностью вычислений по другим методикам.

2. Трещина на границе раздела двух упругих сред. Рассмотрим бесконечную пластину с разрезом, расположенным на границе двух бесконечных полуплоскостей из материалов с различными упругими характеристиками: коэффициентами Пуассона ν_1, ν_2 и модулями сдвига G_1, G_2 . На достаточно большом расстоянии от разреза пластина нагружена нормальными σ и касательными τ напряжениями (рис. 7).

Асимптотическое решение данной задачи можно представить в комплексной форме [13]

$$(\sigma_{yy} + i\sigma_{xy})|_{\theta=0} = (K_I + iK_{II})(r/l)^{ia}(2\pi r)^{-1/2}, \quad (7)$$

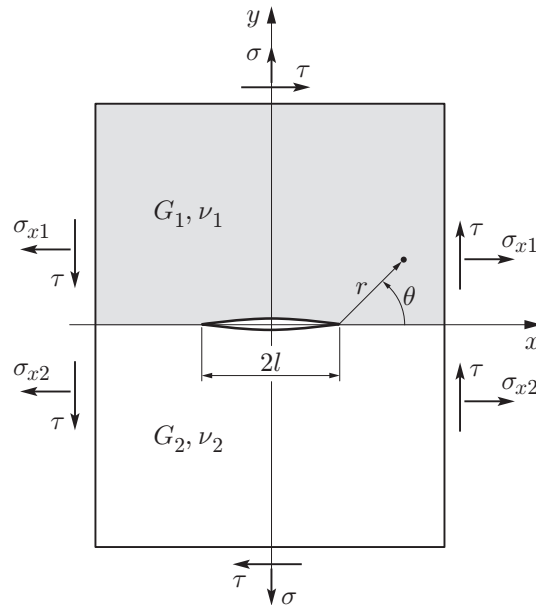


Рис. 7. Схема пластины с трещиной на границе раздела двух сред

где $a = (2\pi)^{-1} \ln((G_2 \kappa_1 + G_1)/(G_1 \kappa_2 + G_2))$; $\kappa_{1,2} = 3 - 4\nu_{1,2}$ в случае плоской деформации, $\kappa_{1,2} = (3 - \nu_{1,2})/(1 + \nu_{1,2})$ в случае плоского напряженного состояния; l — полудлина трещины.

Из выражения (7) следует

$$\begin{aligned} (\sigma_{yy})|_{\theta=0} &= K_I(2\pi r)^{-1/2} \cos[a \ln(r/l)] - K_{II}(2\pi r)^{-1/2} \sin[a \ln(r/l)], \\ (\sigma_{xy})|_{\theta=0} &= K_{II}(2\pi r)^{-1/2} \cos[a \ln(r/l)] + K_I(2\pi r)^{-1/2} \sin[a \ln(r/l)]. \end{aligned}$$

В отличие от случая однородного материала в данном случае КИН K_I и K_{II} нельзя связать только с одной компонентой тензора напряжений:

$$\begin{aligned} K_I &= (2\pi r)^{1/2} \{(\sigma_{yy})|_{\theta=0} \cos[a \ln(r/l)] + (\sigma_{xy})|_{\theta=0} \sin[a \ln(r/l)]\}, \\ K_{II} &= (2\pi r)^{1/2} \{(\sigma_{xy})|_{\theta=0} \cos[a \ln(r/l)] - (\sigma_{yy})|_{\theta=0} \sin[a \ln(r/l)]\}. \end{aligned} \quad (8)$$

Для случая плоского напряженного состояния пластины (см. рис. 7) вычислим K_I и K_{II} , используя соотношения (8) и численное решение, полученное методом конечных элементов, при следующих параметрах задачи: $\tau = 0$, $G_2/G_1 = 0,1$, $\nu_1 = \nu_2 = 0,3$, высота и ширина пластины — $20l$, размер конечного элемента в окрестности вершины разреза — $0,025l$. В этом случае на границе раздела двух сред при $y = 0$ должно быть выполнено условие совместности деформаций $\varepsilon_{x1} = \varepsilon_{x2}$. Для этого пластину необходимо нагрузить дополнительными напряжениями σ_{x1} и σ_{x2} (см. рис. 7). В соответствии с результатами работы [13]

$$\sigma_{x2} = \frac{G_2}{G_1} \sigma_{x1} + \left(\nu_2 - \frac{G_2}{G_1} \nu_1 \right) \sigma.$$

Следовательно, при $\sigma_{x1} = 0$ $\sigma_{x2} = 0,27\sigma$.

На рис. 8 представлены результаты расчета КИН с использованием метода конечных элементов при $y = 0$ в области $0,025l < r < 0,350l$ ($k_I = K_I/K_0$, $k_{II} = K_{II}/K_0$ — безразмерные КИН; $K_0 = \sigma(\pi l)^{1/2}$). Следует отметить, что при $0,05l < r < 0,35l$ функции k_I и k_{II} практически линейны.

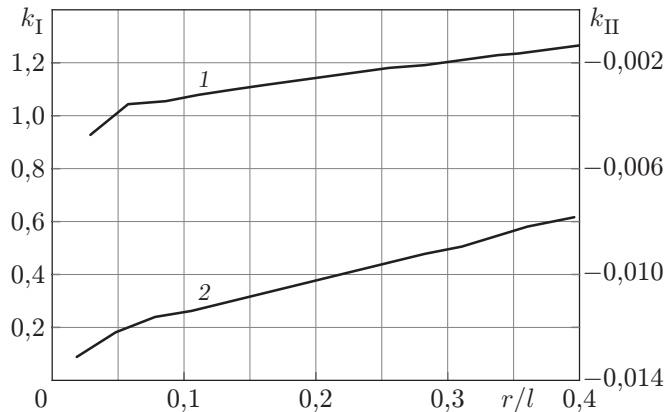


Рис. 8. Результаты расчета КИН k_I (1) и k_{II} (2) с использованием метода конечных элементов

Таким образом, в некоторой окрестности вершины трещины можно правые части выражений (8) представить в виде линейных функций

$$K_I(r) = A_I + B_I r, \quad K_{II}(r) = A_{II} + B_{II} r,$$

а значения КИН определять путем экстраполяции в вершину разреза:

$$K_I = A_I, \quad K_{II} = A_{II}.$$

Экстраполируя данные, представленные на рис. 7, получаем $K_I = 1,0021\sigma\sqrt{\pi l}$, $K_{II} = -0,1248\sigma\sqrt{\pi l}$. Сравним эти результаты с аналитическими значениями КИН, полученными в [14]:

$$K_I^T = \{\sigma[\cos(a \ln 2) + 2a \sin(a \ln 2)] + \tau[\sin(a \ln 2) - 2a \cos(a \ln 2)]\}\sqrt{\pi l},$$

$$K_{II}^T = \{\tau[\cos(a \ln 2) + 2a \sin(a \ln 2)] - \sigma[\sin(a \ln 2) - 2a \cos(a \ln 2)]\}\sqrt{\pi l}.$$

В рассматриваемом случае получаем значение $K_I^T = 1,0129\sigma\sqrt{\pi l}$, отличие которого от расчетного КИН составляет 1 %. Отличие значения $K_{II}^T = -0,1300\sigma\sqrt{\pi l}$ от расчетного КИН равно 4 %. Увеличив размер конечного элемента в окрестности вершины трещины до $0,05l$, получаем $K_I = 1,0013\sigma\sqrt{\pi l}$ (погрешность — 8 %), $K_{II} = -0,1161\sigma\sqrt{\pi l}$ (погрешность — 11 %).

Для того чтобы результаты расчетов КИН соответствовали аналитическому решению задачи о деформировании тела с трещиной на границе двух сред, необходимо использовать конечно-элементную сетку в сингулярной области с размером конечного элемента менее $0,05l$.

Заключение. В работе проведен анализ асимптотических решений для случаев однородного тела с разрезом и неоднородной пластины с трещиной, расположенной на границе раздела двух сред. Распределение напряжений на линии продолжения трещины в окрестности ее вершины представлено в виде линейной функции полярного радиуса точки. На основе проведенного анализа разработан алгоритм независимого определения коэффициента интенсивности напряжений трех типов. Из результатов численного решения задачи о деформировании плоских и пространственных тел с трещиной следует эффективность использования этого алгоритма.

Проведено сравнение результатов, полученных с использованием распределения напряжений в окрестности вершины трещины, и результатов, полученных с помощью других методик. Результаты сравнения подтверждают достоверность предложенных алгоритмов определения коэффициента интенсивности напряжений.

ЛИТЕРАТУРА

1. **Williams M. L.** Stress singularities resulting from various boundary conditions in angular corners of plates in extensions // J. Appl. Mech. 1952. V. 19. P. 526–528.
2. **Черепанов П. Г.** Механика хрупкого разрушения. М.: Наука, 1974.
3. **Тихомиров В. М., Тырин В. П.** Использование метода рассеянного света для определения коэффициента интенсивности напряжений K_{III} в трехмерных задачах // ПМТФ. 1990. № 3. С. 167–170.
4. **Тихомиров В. М.** Определение коэффициентов интенсивности напряжений методом фотоупругости в трехмерных задачах механики разрушения // Пробл. машиностроения и надежности машин. 2004. № 2. С. 94–100.
5. **Тырин В. П.** Применение метода голографической интерферометрии для определения коэффициента интенсивности напряжений // ПМТФ. 1990. № 1. С. 155–158.
6. **Нейбер Г.** Концентрация напряжений. М.: ОГИЗ, 1947.
7. **Тимошенко С. П.** Теория упругости / С. П. Тимошенко, Дж. Гудьер. М.: Наука, 1975.
8. **Морозов Е. М.** Метод конечных элементов в механике разрушения / Е. М. Морозов, Г. П. Никишков. М.: Наука, 1980.
9. **Морозов Е. М.** ANSYS в руках инженера: Механика разрушения / Е. М. Морозов, А. Ю. Муйземнек, А. С. Шадский. М.: Ленанд, 2008.
10. **Тихомиров В. М.** Определение коэффициентов интенсивности напряжений в трехмерных задачах механики разрушения // ПМТФ. 2014. Т. 55, № 5. С. 172–180.
11. **Вычислительные методы в механике разрушения** / Под ред. С. Атлури. М.: Мир, 1990.
12. **Мураками Ю.** Справочник по коэффициентам интенсивности напряжений: В 2 т. М.: Мир, 1990.
13. **Sih G. C., Rice J. R.** The bending of plates of dissimilar materials with cracks // J. Appl. Mech. 1964. V. 31. P. 477–482.
14. **Rice J. R., Sih G. C.** Plane problems of cracks in dissimilar media // J. Appl. Mech. 1965. V. 32. P. 418–423.

*Поступила в редакцию 8/VII 2019 г.,
после доработки — 26/VII 2019 г.
Принята к публикации 26/VIII 2019 г.*
